

Fig. 4-15 Ti 與 30Y/70Z 1700°C/10min 熔融擴散反應後之介面微觀結構圖 (BEI), 界面位於反應層 II、III 之間。

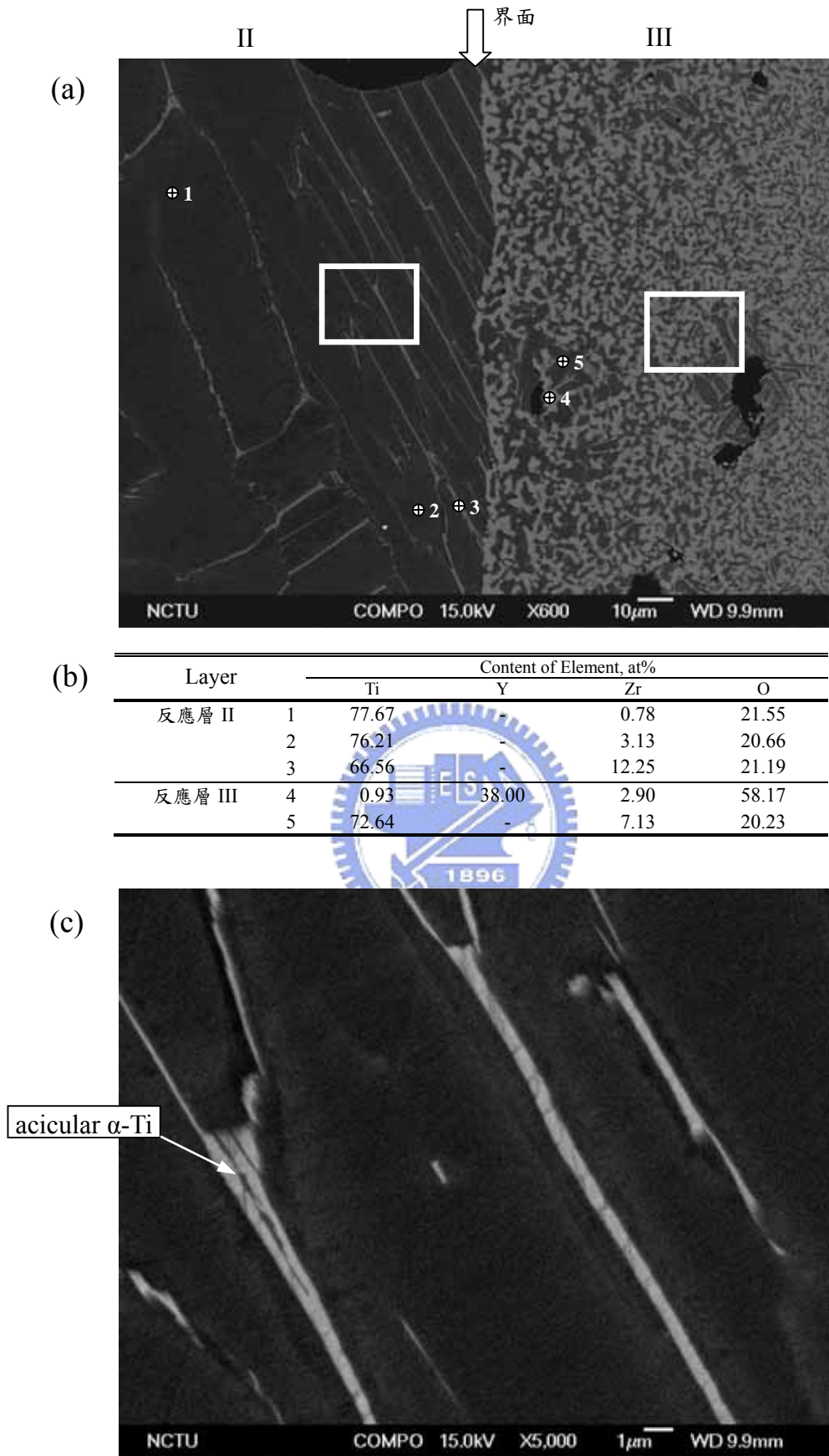


Fig. 4-16 (a) Ti 與 30Y/70Z 熔融擴散反應後反應層 II、III 之微觀結構圖 (BEI); (b)WDS 定量分析; (c)樹枝狀結構的局部放大圖 (BEI)。

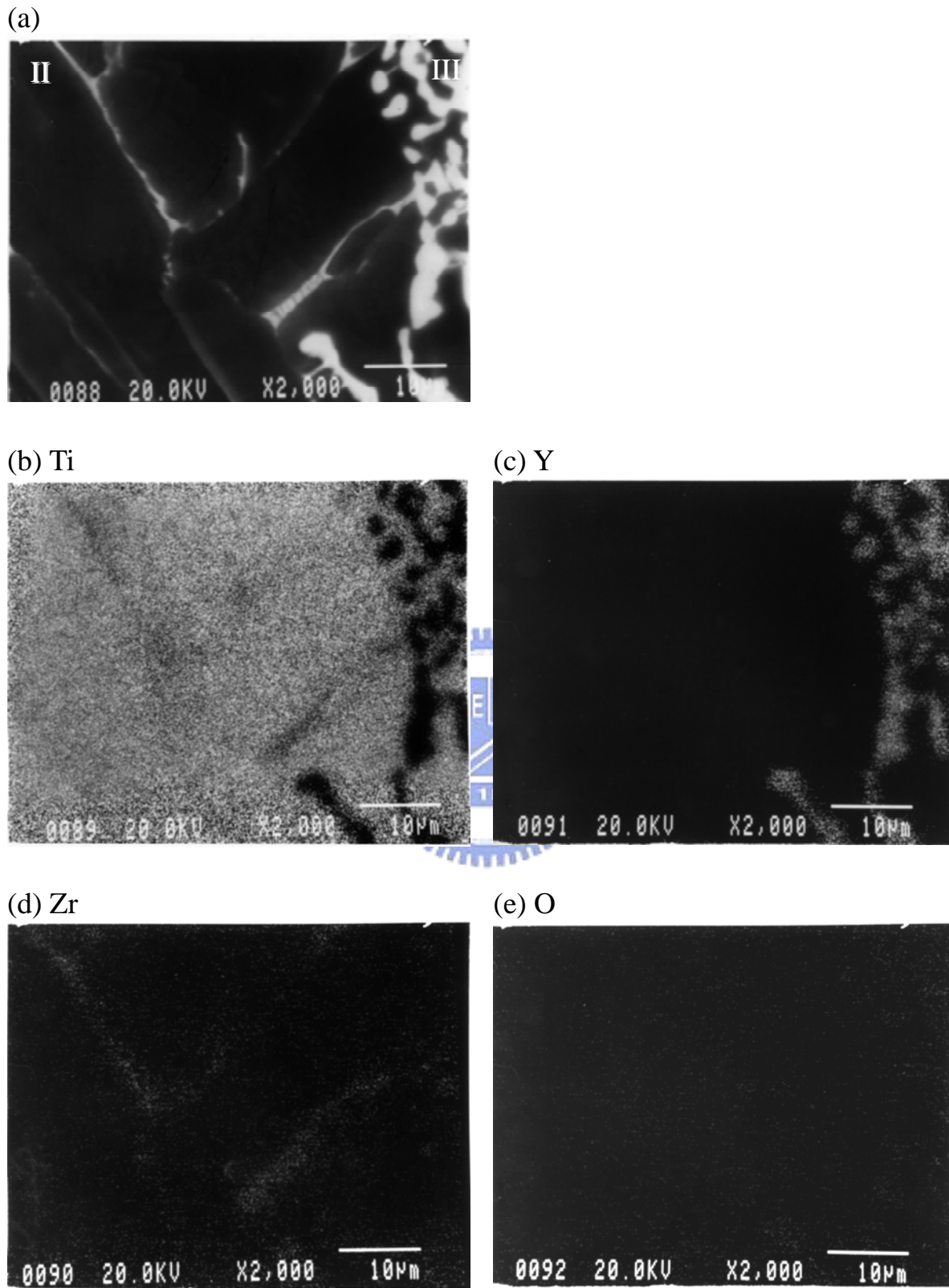


Fig. 4-17 (a) Ti 與 30Y/70Z 融熔擴散反應後反應層 II、III 之微觀結構圖 (BEI); (b)至(e) 依序為 Ti、Y、Zr 與 O 元素之 X-ray mapping。

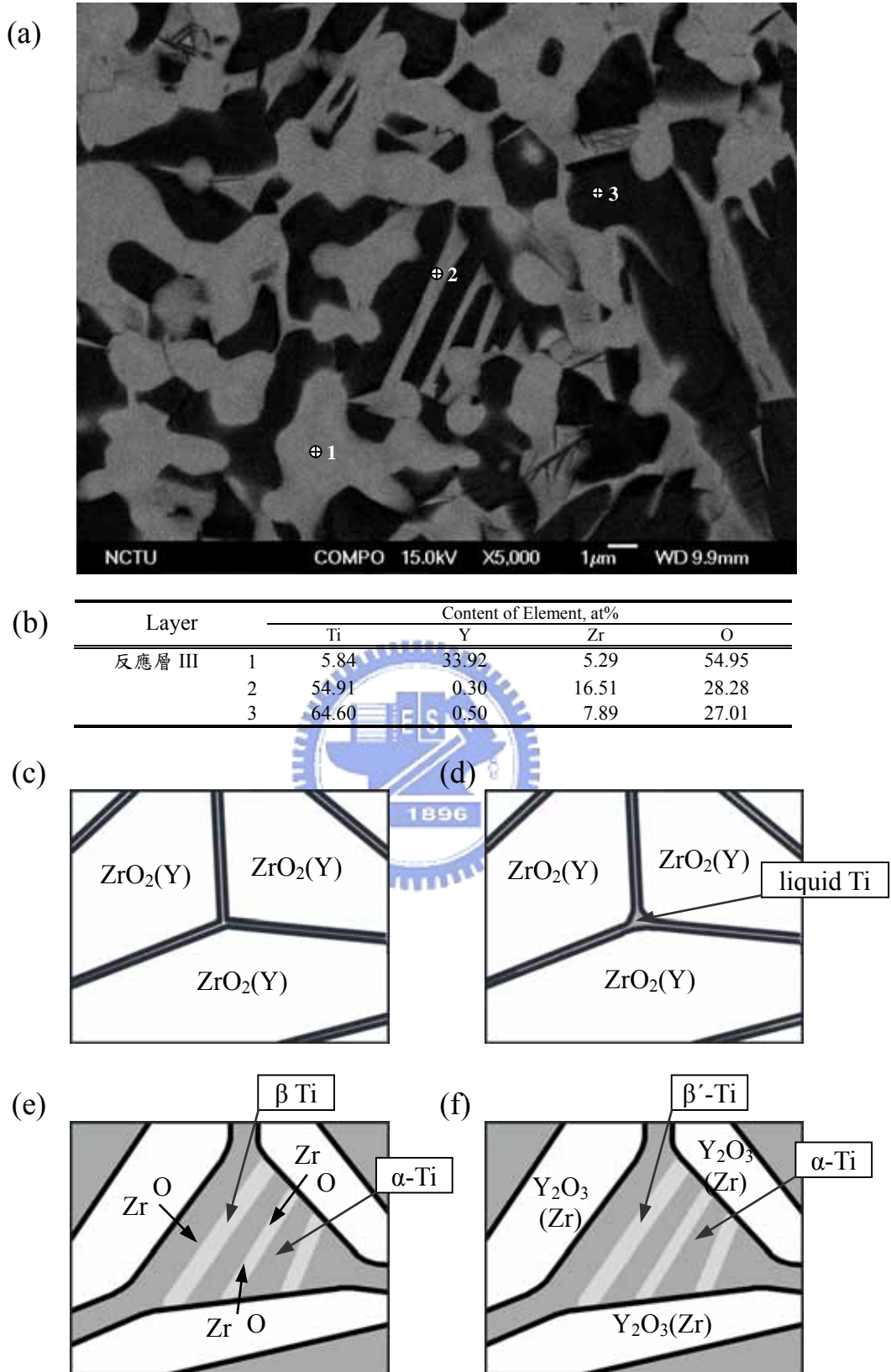


Fig. 4-18 (a)Ti 與 30Y/70Z 融熔擴散反應後反應層 III 之微觀結構圖 (BEI)；(b)WDS 定量分析；(c)至(f)生成機構示意圖。

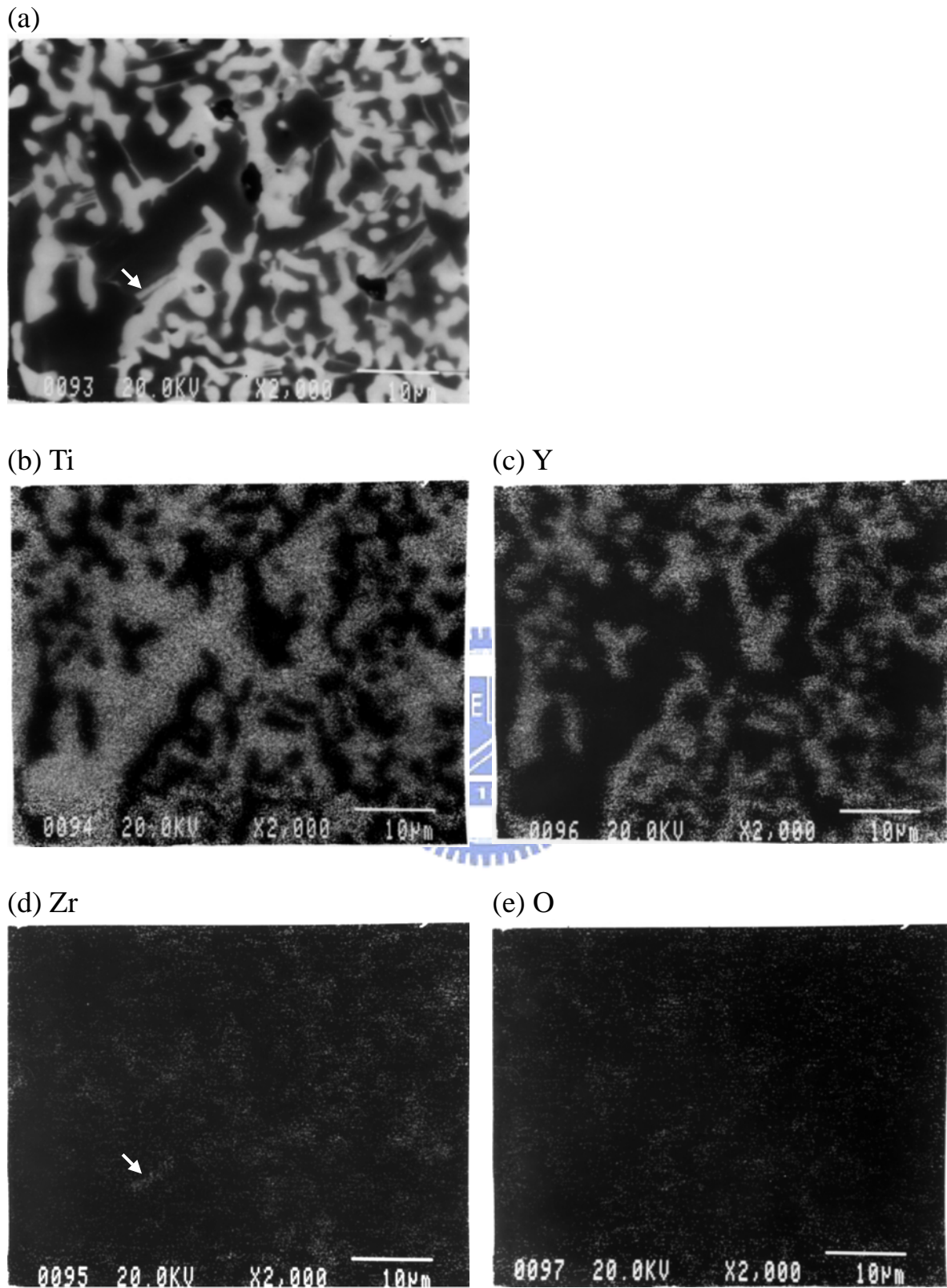


Fig. 4-19 (a) Ti 與 30Y/70Z 融熔擴散反應後反應層 III 之微觀結構圖 (BEI) ; (b)至(e)依序為 Ti、Y、Zr 與 O 元素之 X-ray mapping。

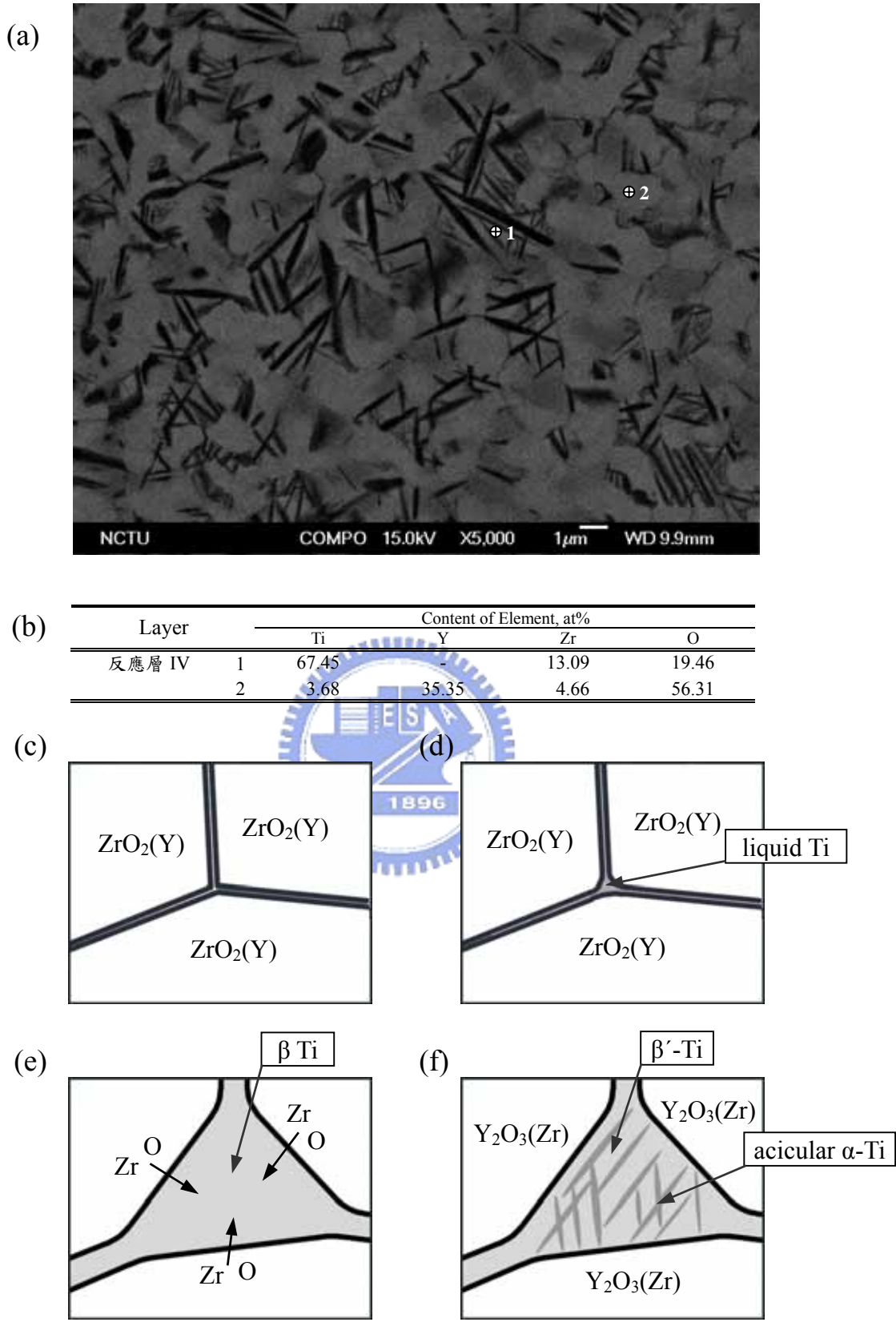


Fig. 4-20 (a) Ti 與 30Y/70Z 融熔擴散反應後反應層 III 之微觀結構圖 (BEI); (b) WDS 定量分析; (c)至(f)生成機構示意圖。

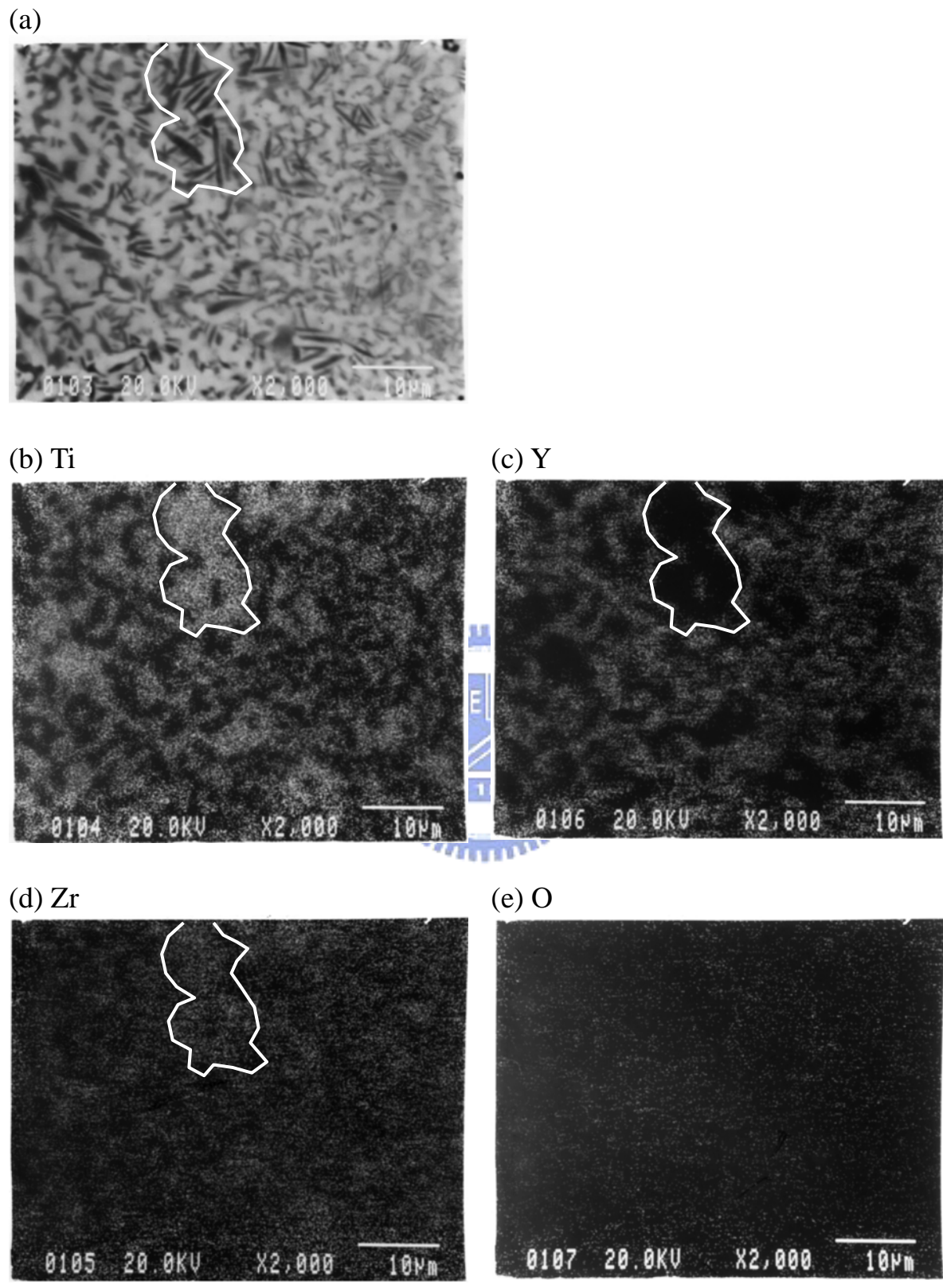
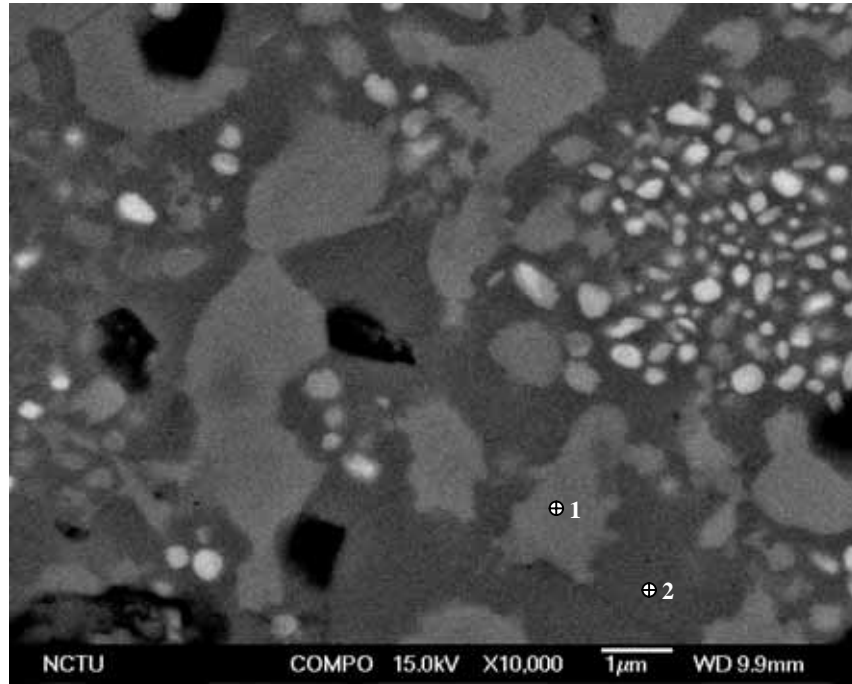


Fig. 4-21 (a) Ti 與 30Y/70Z 融熔擴散反應後反應層 IV 之微觀結構圖 (BEI) ; (b)至(e)依序為 Ti、Y、Zr 與 O 元素之 X-ray mapping。

(a)



(b)

Layer	Content of Element, at%			
	Ti	Y	Zr	O
反應層 V	1	2.84	66.96	30.21
	2	14.99	23.73	61.28

Fig. 4-22 (a) Ti 與 30Y/70Zr 融熔擴散反應後反應層 V 之微觀結構圖 (BEI); (b) WDS 定量分析。

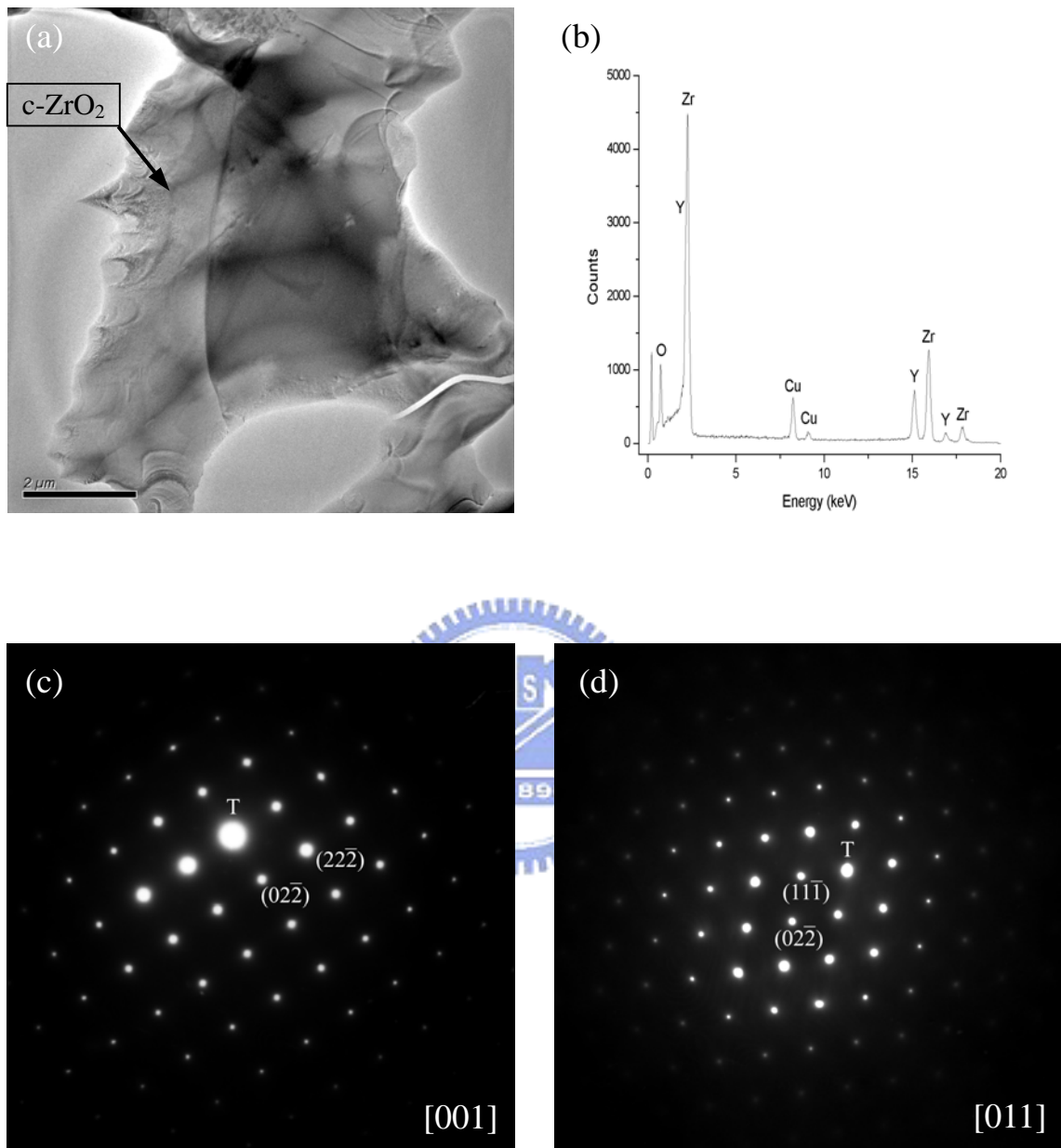


Fig. 4-23 (a) Ti 與 30Y/70Zr 融熔擴散反應後反應層 V 之明野視像 (BFI); (b) 標示處之 EDS 分析光譜; (c) SADP, Z.A.= $[001]$; (d) SADP, Z.A.= $[011]$ 。

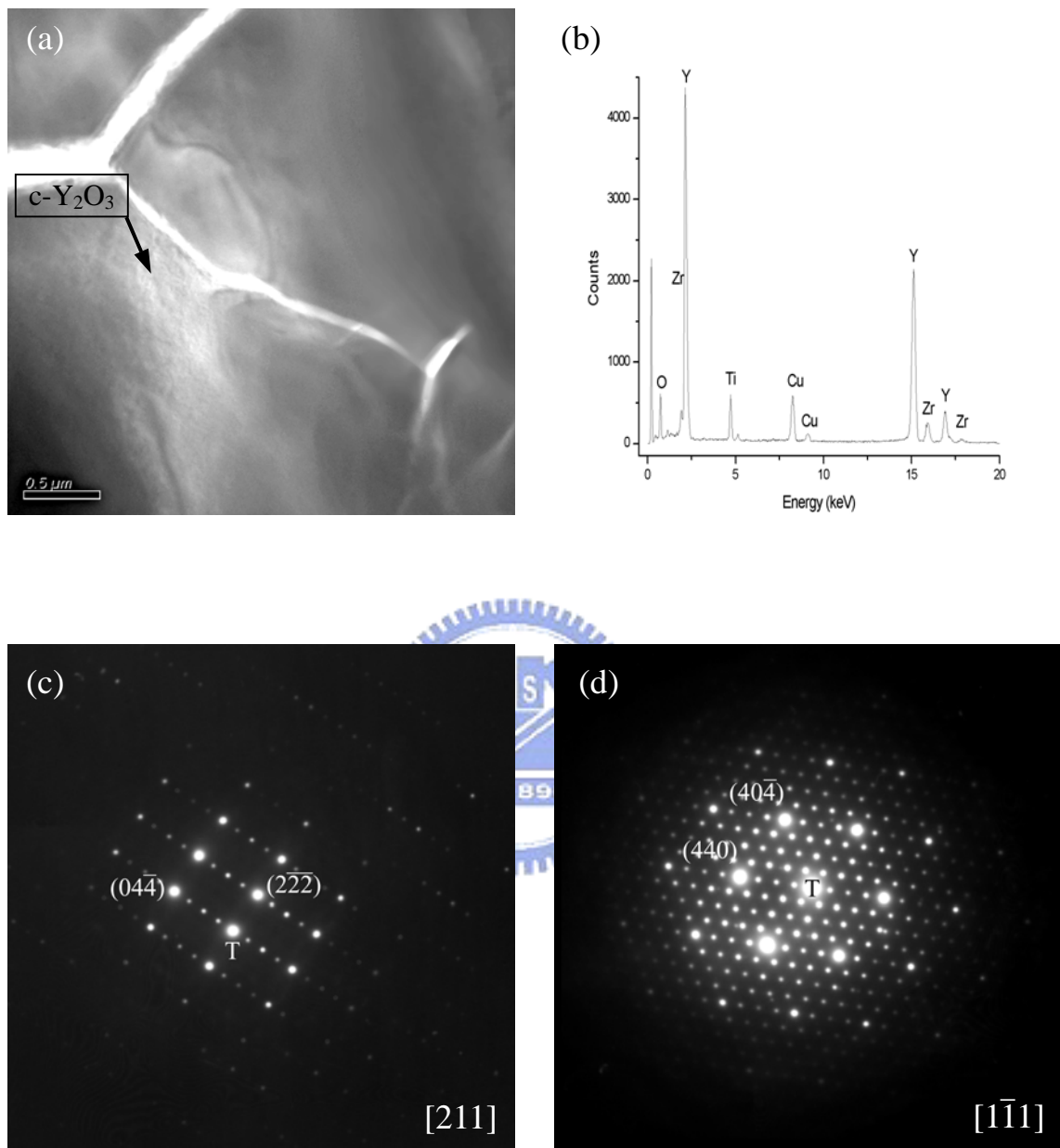


Fig. 4-24 (a) Ti 與 30Y/70Z 融熔擴散反應後反應層 III 之明野視像 (BFI); (b) 標示處 EDS 分析光譜; (c)SADP, Z.A.=[211]; (d) SADP, Z.A.=[1 $\bar{1}$ 1]。